

### III-162 杭の地震時支持力についての実験

山口大学 正員 大原資生

1. 地震時に杭の支持力は減ると予想される。この原因の一つは地震時に地盤の強度が変化するためと考えられる。著者は振動台上の砂箱内に模型杭をおき、模型杭の支持力の減少と震度との関係を測定し、その結果についていくらかの考察をこころみる。模型による杭の実験では静的の場合でも実際の杭との相似律に不明な点があり、模型杭自体をかなり大きいもの用ひなければならぬようであり、本実験に用ひた杭はかなり小さいので、この結果を全部実際の杭に対応させるには疑問があるが、一応の実験結果として発表する。

2. 実験に使用した模型杭は直径がそれより  $2.55\text{ cm}$ ,  $3.07\text{ cm}$  で、これと深さ、幅、長さがそれより  $30 \times 60 \times 100\text{ cm}$  の砂箱の中心附近に根入長を  $6\text{ cm}$ ,  $10\text{ cm}$ ,  $15\text{ cm}$ ,  $20\text{ cm}$  として設置した。

そして図-1に示すように、簡単な載荷装置によって杭に作用する荷重を段階的に増加していくが、一定の震度で10秒間振動し、その後の杭の沈下量を測定する。振動周期は0.3秒である。使用した砂は平均粒径  $0.24\text{ mm}$  の豊浦砂で、これを砂箱に埋め、手で震度0.4の振動で充分に締め、後に模型杭を砂面に押込んである。なお、振動は水平振動である。

測定は全支持力(先端支持力+周面マサツカ)の測定の他に、先端支持力のみの測定も行った。それには杭の直径より約  $5\text{ mm}$  大きい内径をもつブリキのパイプを杭の外側に入れて、杭周面と砂との縁を切った状態で荷重と沈下量との関係を測定した。図-2がその結果で全支持力の場合の例である。これから沈下量が  $2 \sim 3\text{ mm}$  の点の荷重をもって極限支持力となる。

以上の測定結果から静的支持力  $Q_s$  を基準値とし、振動時の支持力  $Q_d$  との比をとって、震度による支持力の減少の状態をみると図-3のようになる。震度によって支持力が急速に減少していくことがわかる。このような結果を各根入長別にまとめて示したもののが図-4である。左が先端支持力、右が全支持力である。図-4でわかることは根入長が大きい場合の方が震度による支持力比の減少が小さいということがわかる。このことは実際の杭基礎の震害事実と一致している。

4. 以上の実験結果について次のような考察を行つてみる。

まず、常時の砂の内部マサツ角正中とすると、震度  $\alpha$  は振動中の内部マサツ角は  $\phi - \tan^{-1} \alpha$  (佐野の式) となるとして、それを静的杭公式に入れて震度と支持力の減少の関係を求めてみる。その結果、先端支持力において Terzaghi の支持力公式による計算がもっとよく実験結果と似ていることがわかる。そこで、杭の全支持力  $Q$  の式として、次の(1)式を仮定する。

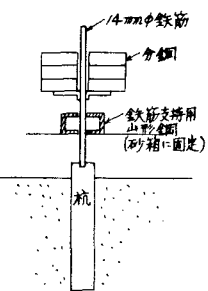


図-1 載荷装置

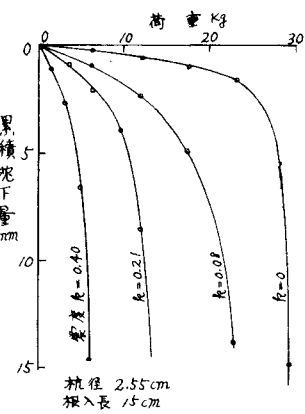


図-2 荷重-沈下曲線

$$\Theta = 1.3CA(N_c) + 0.6\delta_e AY(N_g) + \delta_e AL(N_g) + 2\pi r L \cdot \delta_e (N_f) \quad \dots \dots \dots (1)$$

但し  $C$ : 粘着力,  $A$ : 杭の断面積,  $L$ : 杭の根入長

$r$ : 杭の半径,  $N_c, N_g, N_f$ : Terzaghi の支持力係数

$N_f$ : 周面マサツカに及ぼす係数

オ1からオ3項までは Terzaghi の支持力公式を先端支持力に用いたものであり、オ4項は周面マサツカの項として加えてある。

いま、実験では乾燥砂を用いていたので、粘着力はないとしてオ1項は除く。 (1)式は次のように変形するといふ出来る。

$$\frac{\Theta}{\delta_e AL} = 0.6(N_g)\left(\frac{r}{L}\right) + (N_g) + \frac{2(N_f)}{\left(\frac{r}{L}\right)} \quad \dots \dots \dots (2)$$

故に全ての実験結果を  $\frac{\Theta}{\delta_e AL}$  と  $\gamma_L$  との二つの無次元量の関係で整理してみた。その結果が図5である。(a)は先端支持力のみであるが、(2)式のオ3項は無い場合である。(b)では  $\frac{\Theta}{\delta_e AL}$  の値は各震度で  $\gamma_L$  には無関係に一定となつていて、このことは、振動時は  $N_g$  よりも  $N_f$  が急速に減少して、(2)式のオ1項が無視出来ることを意味していると思われる。又、全支持の場合の(b)では  $\gamma_L$  が小さくなると  $\frac{\Theta}{\delta_e AL}$  が急速に大きくなつているが、これは前述のことと加えて(2)式のオ3項の影響が加るためとして説明出来る。

以上、考察の結果を結論としてまとめれば次のとおりである。

(1) 振動時の杭の支持力と他の諸元との関係は(2)式によつて表わされ、振動によつて各係数値は減少するが他に比して  $N_f$  は非常に小さくなり、オ1項は無視出来るようになる。

(2) 振動時の杭の支持力のうち、周面マサツカの値は  $\gamma_L$  が小さくなるにつれて大きくなるので、根入長が大きいほど杭は耐震的となる。

すなわち、杭を耐震的とするには杭径と大きさをすることは無意味で、根入長を大きくする方が効果的であることがわかる。

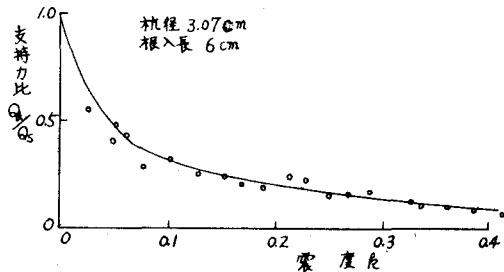


図-3 支持力比-震度曲線

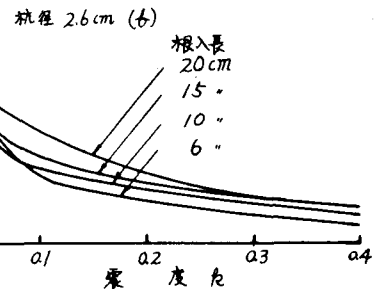
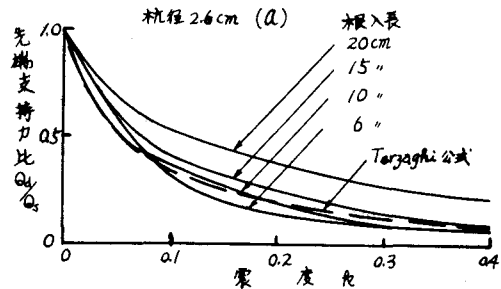


図-4 支持力比-震度曲線(根入長別)

(b) 振動時全支持

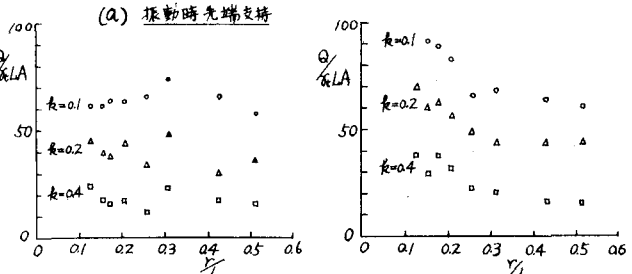


図-5  $\frac{\Theta}{\delta_e AL}$  -  $\gamma_L$  の関係